

(10) 乱れた気流に対する橋梁構造の空力弾性応答に関する32, 3の考察

東京大学工学部 官田 利雄

住友重機械工業 ○ 宮崎 正男

東京大学大学院 山田 均

1. まえがき

長大、あるいは中支間橋梁の設計において、自然風のもたらす効果は重要なファクタであるが、それは橋梁構造の耐力を支配する場合から、構造断面の形状を支配する場合に至るまで、多様な形で現われる。特に、風により誘起される不安定振動として、橋梁構造に現われるものに、まず、いわゆる渦励振と呼ばれる、振幅の限られた振動である。これは、鉛直たわみ、あるいは横山振動の形で比較的低い風速で現われる。さらに、フラッタと呼ばれる振れ振動が、ある程度の鉛直たわみ振動を随伴しながら、より高い風速で起り、大振幅に発達するこれがである。こうした空力不安定振動が実際の橋梁で発生しないように、ふつう種々の形の設計案の縮尺模型について風洞実験が実施されることは、このようないくつかの風洞実験はかなりの伝統があるが、自然風の乱れの効果は考慮せず、一様な(一定の風速の)気流のもので実験するこれがほとんどであった。一様な風流のもので実験するこの方法は、多分に飛行機翼に関する実験法にからうという要素が強めたからこそであらむ、不安定振動に対する乱れの効果が小さいものであることを検証を経たわけではない。この方法は、数はけたばかり、実際の橋梁、たとえば、旧 Tacoma Narrows 橋や下種構体入前の Golden Gate 橋において観測された振動が、橋梁構造の一部を取り出した部分模型において再現された事実によつて、ある意味の妥当性を検証されたと言え得る。しかし、現在においても、橋梁構造の耐風性の検証に大いに用いられてゐる。

これに対し、自然風の乱れが橋梁の不安定振動における効果の実験的検証は比較的新しいものである。Davenport, Isyumov, 官田³は、境界層風洞において、自然風を乱れを相似させた気流のもので、いくつかの橋梁断面の彈性全体模型(taut strip 模型)について実験を行はし、不安定振動に対する乱れの効果を観測した。そのによると、風の乱れの強さが大きくなると渦励振が減り、消滅し、フラッタの限界風速が増大する傾向が認められる。もちろん、乱れの効果は構造断面の形状によつて異なり、フレートガータス補剛桁の Tacoma Narrows 橋タイプのフラッタは、トラス補剛桁の Golden Gate 橋タイプより乱れに敏感ではなく、熟ように現われていふ。基本的な形状の平板桁タイプでは、乱れの影響がきわめて大きく現われ、一様気流におけるフラッタの急激な発達は理論に対し、低い風速から鉛直たわみ、横山振動が見られる。これらが振動は不規則で、乱れによる、いわゆるパフエティンクがあり、風速とともにその振幅が大きくなる。この場合の応答は理論的にあくまで予測が可能である⁴⁾。さらに、Irwin, Schuyler⁵⁾は下路トラス補剛桁の Lions' Gate 橋のフラッタについて、同じように自然風を相似させた乱れた気流のもので、彈性全体模型実験を行はした。この例では、乱れの存在が⁶⁾一様流のもので見らるるフラッタを消滅させている。フラッタがパフエティンクに移行する程度は、上述の Golden Gate 橋タイプ、この例、そして平板タイプの順で大きくなるようである。

以上のように、橋梁構造の不安定振動に対して、乱れの効果は多様な形で現われてゐるが、一般的

に、乱山の強さ I_u 、乱山のスケール L_x^u 、パワースペクトル形状¹⁾、空間相関性などの乱山の特性と、構造断面形状²⁾、さらに固有振動数 ω_0 、質量 m 、あるいは慣性モーメント J 、構造減衰 δ_s など構造特性によつて異なるものと考えらる。構造断面は、ふつう、鋭い隅角部を持ち、そこから剥離する流れが考慮すべき大部分の空気力、応答を支配しつゝあるが、この剥離流に対する乱山の伝導率³⁾、その複雑さ α が $2\pi/m$ は不明のところが多い。本論文では、橋梁構造、部件などを用いらるべくつかの断面形を対象に、風の乱山の効果と作用空気力、振動応答について、風洞実験による観測結果を示しながら考察しようとする。

なお、本論文で用いらる記号は、上述のもののほか、次のようにある。

風速(平均風速) $U(\bar{U})$,	換算風速 $U_r = U/U_{fb}$,	平均流方向変動風速 $U(t)$,
無次元パワースペクトル $\{S_U(f)\}/\bar{U}^2$,	振動数 f ,	スパン長 l ,
断面高さ d 及び H ,	断面幅 b 及び B ,	振幅 ϕ ,
たわみ振幅 a (無次元たわみ振幅 α), 過角 β ,		位相角(進み) β ,
抗力 D (抗力係数 C_D),	揚力 L (揚力係数 C_L),	モーメント M (モーメント係数 C_M),
揚力係数 C_F ,	圧力 P (平均圧力 \bar{P}),	平均圧力係数 C_P ,
変動圧力係数 C_{Prms} .		

2. 静止時の平均空気力に対する乱山の効果

2.1 上路トラス補剛桁断面

ふつうの吊橋の補剛桁に用いらるトラス断面について、乱山のスケールと断面の代表長の比を変化せたときの、三分力係数(抗力、揚力、モーメント係数)に対する乱山の効果を見つめようとする。Fig. 1 は不安定振動の現われない、安定な断面の抗力、揚力係数と迎角の関係である。揚力係数は、迎角の絶対値が大きくなると、一様流の場合にくらべてその絶対値が大きくなる。乱山のスケールと断面の比 L_x^u/B の効果はほとんど認められない。一方、抗力係数は、 $| \alpha | \leq 18^\circ$ の範囲において一様流の場合よりも $10\sim20\%$ 程度大きくなり、この差は迎角とともに大きくなる。

Fig. 2 は高橋を閉塞した場合⁴⁾、捨山フリッタが生じ易い断面のモーメント係数と迎角の関係である。係数の負勾配が小さく迎角域が見られるが、乱流中ではこの負勾配がゆるくなり、しかもその迎角範囲が狭くなつて傾向が認められる。

2.2 長方形断面

乱流中にあかれた長方形柱に作用する抗、揚力は、断面の辺長比、乱山の強さ、あるいは乱山のスケールによつて著しくとの特性が変化するものである。ここでは、辺長比 a/b が $1/1$, $2/3$, $1/2$ の場合について、乱山のスケールと断面幅の比 L_x^u/b の効果を見つめることにする。

Fig. 3, 4 は $a/b = 1/1$, $1/2$ の場合の抗力係数、揚力係数と迎角の関係を示すものである。抗力係数 C_D は $a/b = 1/1$, $1/2$ の場合の抗力係数、揚力係数と迎角の関係を示すものである。

揚力係数 C_L は、迎角 $\alpha = 0^\circ$ 附近の負勾配に着目すると、 $1/1$ 断面ではほとんど差がないのにに対し、 $1/2$ 断面では一様流に比べ乱流ではその絶対値がかなり小さくなつてゐる。しかし、 L_x^u/b が大きい

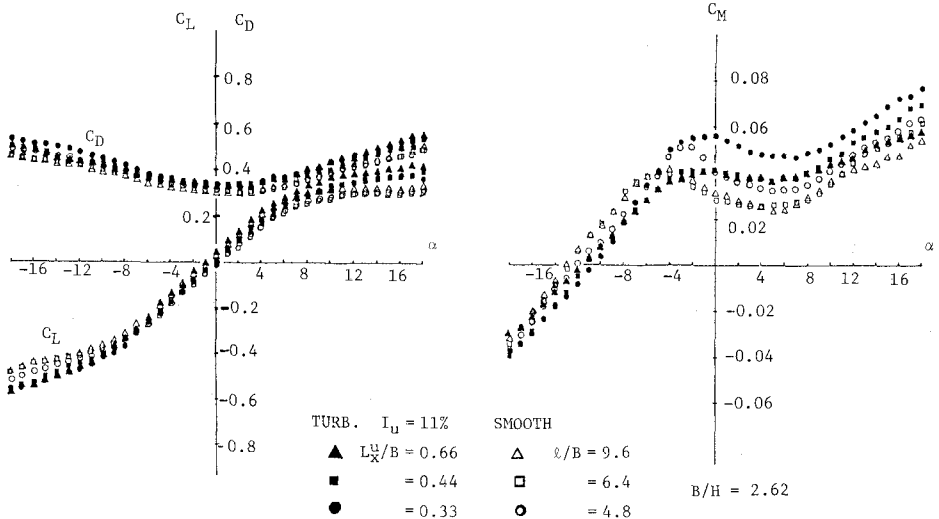


Fig. 1 Mean Force Coefficients of Truss Section with Open Hand Rail

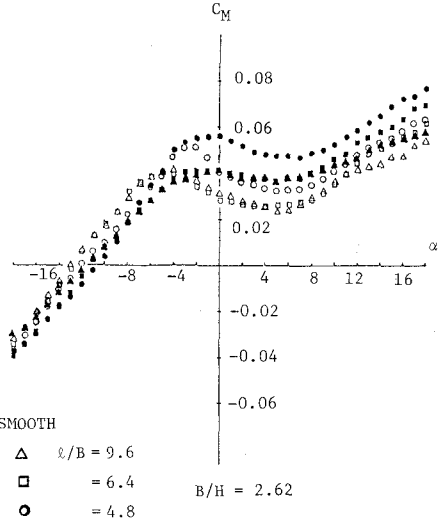


Fig. 2 Mean Moment Coefficient of Truss Section with Solid Hand Rail

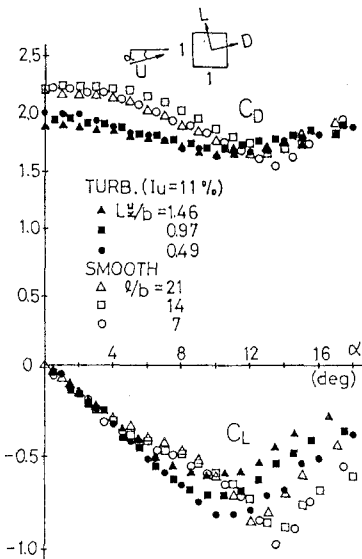


Fig. 3 Mean Force Coefficients of 1/1 Section

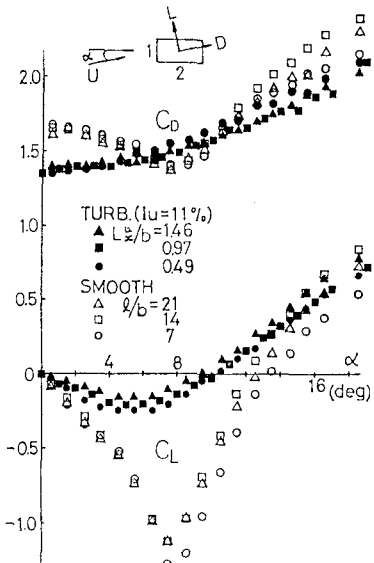


Fig. 4 Mean Force Coefficients of 1/2 Section

はが、より小さくねえ。これは、ギャローピングに因る準定常理論における揚力係数の勾配 $dC_{FY}/d\alpha$ が L_x^u/b が大きくなるほどは、より小さくねえことを予期せせる。この点については次項で再びふれることはにする。

長方形断面の前縁からの剥離せん断層の後縁側への再付着に着目すると、1/1, 1/2 断面ともに乱流中で再付着を生ずる迎角（揚力の極小値を生じる迎角と見なす）は、一様流に比べてより小さくなつてあり、しかも L_x^u/b が大きいほどより小さい方へと移つてゐる。このようすは角付着迎角、ならびに前述した揚力係数の負勾配と L_x^u/b の関連は、断面まわりの圧力分布を測定するよく分る。す

ばかり、気流の入射する側と反対の側面の負圧分布に L_x^*/b の影響を明らかに認めることはできる。

3. 長方形柱のギャロッピングに対する乱れの効果

構造断面が充腹した形状をもつとき、前縁から剥離する漏によるギャロッピング、すなはちねじりの不安定振動が発生するこれが知られる。これは、辺長比 d/b が $1/1, 2/3, 1/2$ の長方形柱について、乱れのスケールと断面幅の比 L_x^*/b のギャロッピングへの影響を見つけるとする。

Fig. 5, 6 は、 $1/1, 1/2$ 断面 2° 、断面幅と乱れのスケールがほぼ等しい場合の振動応答を示す。 $1/1$ 断面では、一様流において、質量・減衰比 $\frac{2m}{pbde} \cdot \delta_s$ (図中の I を表示) ≤ 20 のときは、 $U_r = 6$ 附近より振動応答が立ち上がり、その後大振幅のギャロッピングへと移行するが、 $\frac{2m}{pbde} \cdot \delta_s \geq 30$ のときは、渦励振が生じ、振幅がピークに至った後小さくなり、振動がいわんあせとなる。そして、より高風速域においてギャロッピングが発生する。これに対して、乱流中では、渦励振は現われてもその後振幅が小さくなるのが特徴的であり、ギャロッピングについては一様流、乱流による応答の差はけげないといえる。

他方、 $1/2$ 断面では、一様流において、 $\frac{2m}{pbde} \cdot \delta_s \leq 40$ のときは、渦励振からギャロッピングへと振動応答は連続して進行して、 $\frac{2m}{pbde} \cdot \delta_s \geq 60$ のときは、不安定性リミットサイクル (図中の点線の部分) が存在し、振幅の大きさは質量・減衰比の値によらず、ほぼ一致した応答を呈している。乱流中では、 $1/1$ 断面に比べて、渦励振の振幅の小ささほど傾向が強く、さらにギャロッピングの発生はきわめて高風速側に移り、一様流の場合との差は大きい。実験された振幅の範囲内には不安定性リミットサイクルは認められず、応答曲線は風速の上昇に対して連続的に立ち上るのみ、すなはちシフトギャロッピングを呈しているのが特徴的である。

$2/3$ 断面では、以上に述べた $1/1$ 断面と $1/2$ 断面のはば中間的な特性を示していると言えようのができる。

ギャロッピング振動は準定常理論によりよく記述できることわかっているが、この理論においてからうる横力係数 C_{FY} は静止

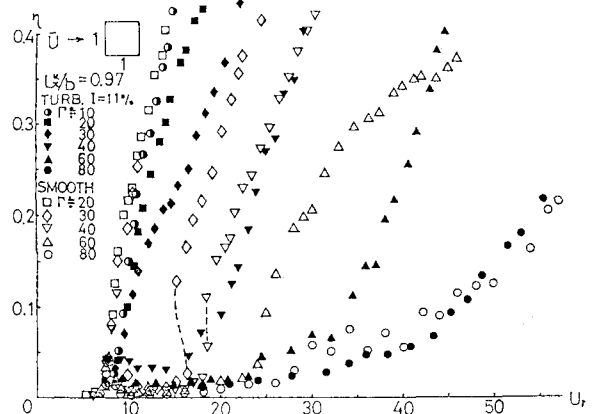


Fig. 5 Galloping Response of $1/1$ Square Section Cylinder

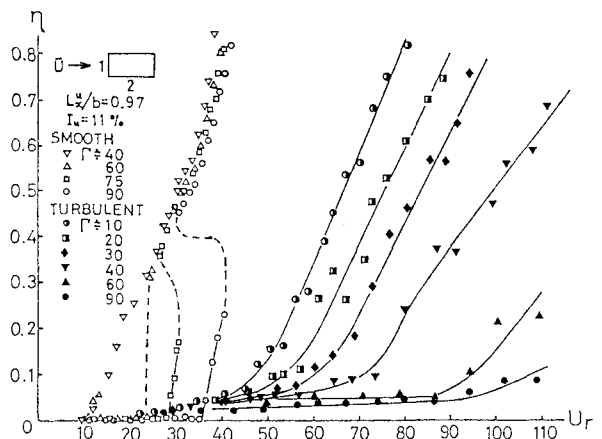


Fig. 6 Galloping Response of $1/2$ Section Cylinder

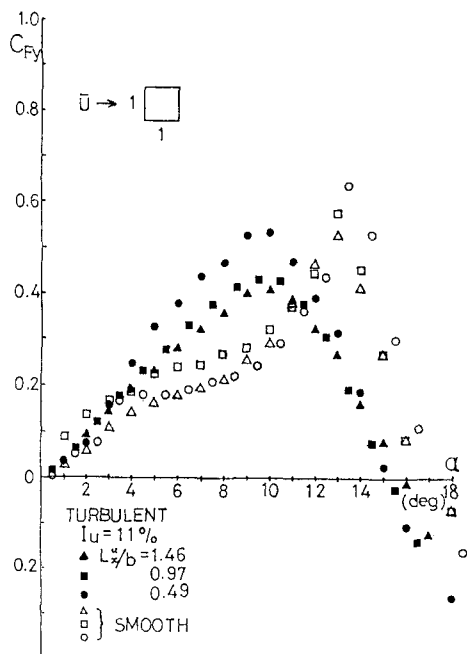


Fig. 7 Lateral Force Coeff. of 1/1 Section

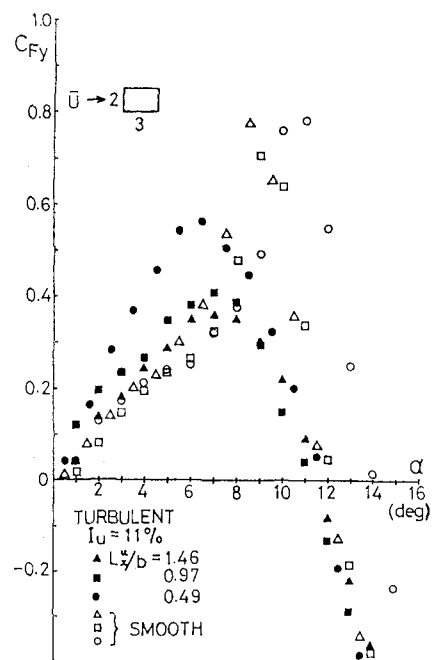


Fig. 8 Lateral Force Coeff. of 2/3 Section

時²の平均空気力係数、すなはち抗力係数、揚力係数を用ひ

$$C_{Fy} = -(C_L + C_D \tan \alpha) \sec \alpha$$

のようにおおらかに。この係数 C_{Fy} と迎角の関係を示したもののが Fig. 7, 8, 9 である。1/1, 2/3, 1/2 の各断面に共通する傾向は 1/2, 一様流中にくらべ、乱流中では C_{Fy} のピーク位置が小迎角側へ移り、しかもピーク値が低減している。この程度は 1/1, 2/3, 1/2 断面の順に大きくなり、乱流の効果がこの順に大きくなるが知らる。揚力係数の勾配 $(dC_{Fy}/d\alpha)_{\alpha=0}$ は順次大きくなり、1/1 断面では、一様流、乱流の差ではなく、しかも乱流のスケールと断面幅の比 L_x^4/b の効果もはんらん見らる。2/3 断面では若干の差、効果が認められる。1/2 断面では顕著な差が認められ、 L_x^4/b の効果も著しい。二二一二示した実験結果は乱れの強さが $I_u = 11\%$ の場合であるが、以上に述べた特徴には乱れの強さが効果さらに重要なところであるが指摘される。

Fig. 10, 11, 12 は、振幅比 $\eta = 0.2$ の場合の $I = \frac{2m}{\rho b d L}$ 、 S_s と U_r の関係を運動応答図から求めたものである。1/1 断面では、上述した結果から予測されるように、乱れの効果はほとんど認められない。

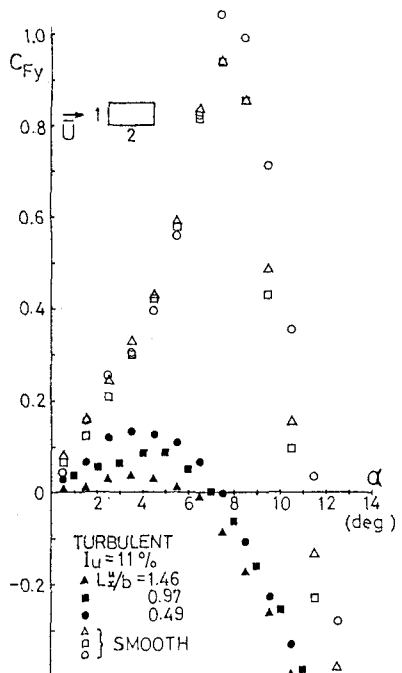


Fig. 9 Lateral Force Coeff. of 1/2 Section

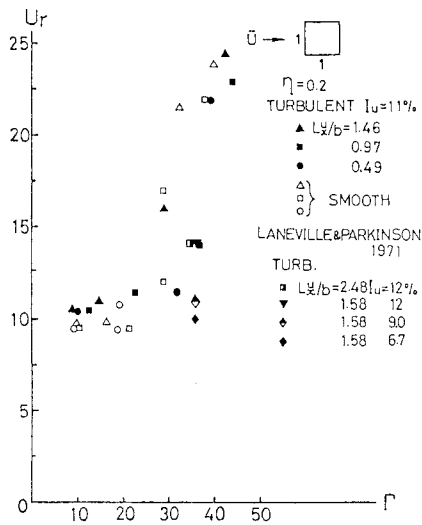


Fig. 10 Response of 1/1 Section at Specified Amplitude Ratio $\eta = 0.2$

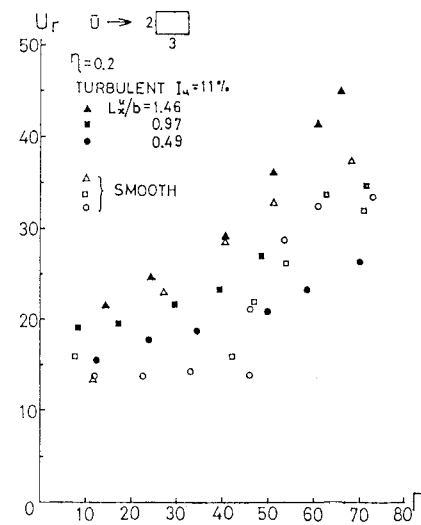


Fig. 11 Response of 2/3 Section at Specified Amplitude Ratio $\eta = 0.2$

が、 $2/3$ 、 $1/2$ 断面では、 L_z/b の大きさが大きいほど U_r は大きくなる。応答が高風速側へ移行し、質量・減衰比(I)に比例して大きくなる。 Δ やローピンクの発振風速は、生に示した種々な係数の勾配に反比例する。一方で、共振応答と静止時の平均抗力、揚力の両方にに対する乱れの効果が相互に符合 $1 \sim 3 = 2$ が知られる。

以上は $1/2$ 、長方形柱、特に $1/2$ 断面を示すローピンクに対する乱れの効果はきわめて著しく、このことは振動を起すせざる離流、その後付着のメカニズムに乱れが大きく関係していることをうかがわせる。

4. 箱形断面の湍励振に対する乱れの効果

4.1 縦平逆台形断面

斜張橋にしばしば採用される縦平逆台形断面は、縦平ではあるが、充腹した断面形状であるために、低風速域での湍励振と、比較的高風速域でのフラッタを発生しやすい特性を持つ。Fig. 13は低風速域のみに着目して、鉛直たわみ振動応答を観測した結果である。一様流中では、いかにも湍励振と考えらるべき振動が、図に示すように、2つの風速域で発生している。これに対し、乱れた充流中では、一様流中の特徴をもつた2つの振動応答のピークが消滅し、乱れの変動性に起因するパフエティンクと考えらるべき振動が発現し、風

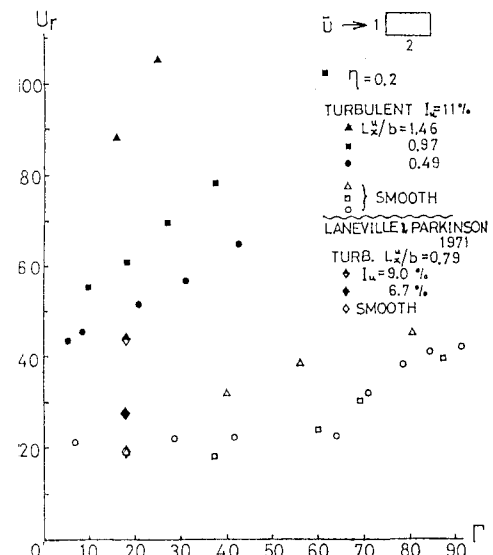


Fig. 12 Response of 1/2 Section at Specified Amplitude Ratio $\eta = 0.2$

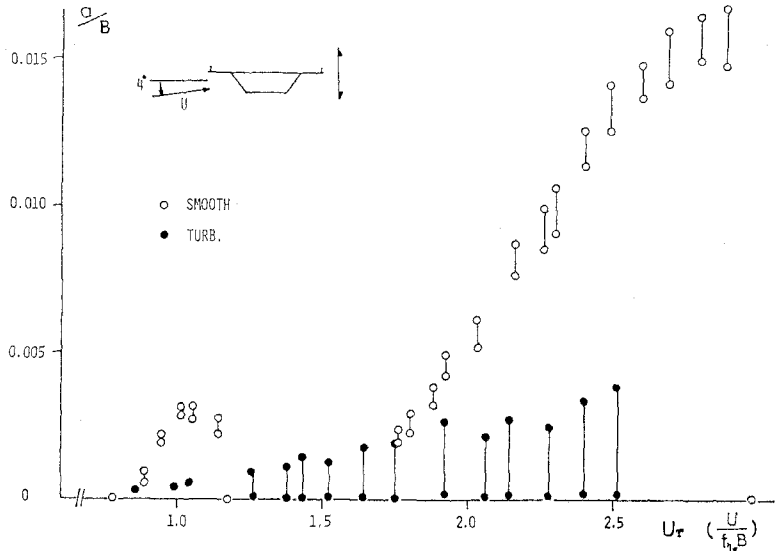


Fig. 13 Vertical Response
of Shallow Box Girder
Section

($I_u = 11\%$, $L_x/B = 0.2$)

速よりもどの振幅を増大させかねない。
この大きな乱れの効果は、風洞実験によつて耐風性を検証し、断面改良を意図しようとすらり、十分詳細しながなければならぬ原因であると言ふ得る。

4.2 1/2長方形断面

他の風域で発生する渦励振の特性を問題にするとき、よく議論の対象となる断面は1/2断面である。この場合の応答は、ストローハル数の逆数 U_{cr} 近傍から立ち上るものと、左 U_{cr} 近傍でピーカー状の限庄振動を行なうものから成つてゐる。Fig. 14 [a]に鉛直たわみ振動応答の、[b]に横ね振動応答の実験結果を示してある。

まず、鉛直たわみ振動について見ると、一様流中では、1/2 U_{cr} 近傍のものは、 $U_r = 4$ 前後で発振し、ピーカを越えて直後の不安定なリミットサイクルを持つために、 $U_r = 6$ 近傍で急激に止む。また、 $U_r \approx 12$ 近傍から再び振動が立ち上り、 $U_r = 20$ 近傍では著しい

ピーカ状の応答振幅を形成するのが特徴的である。質量・減衰比 $\frac{2m}{\rho b d L} \cdot S_s = 1/2$ の1/2近傍の振動は敏感に作用しひ、大きい比のとき振動は発現しないが、 U_r 近傍から立ち上り振動は敏感である。

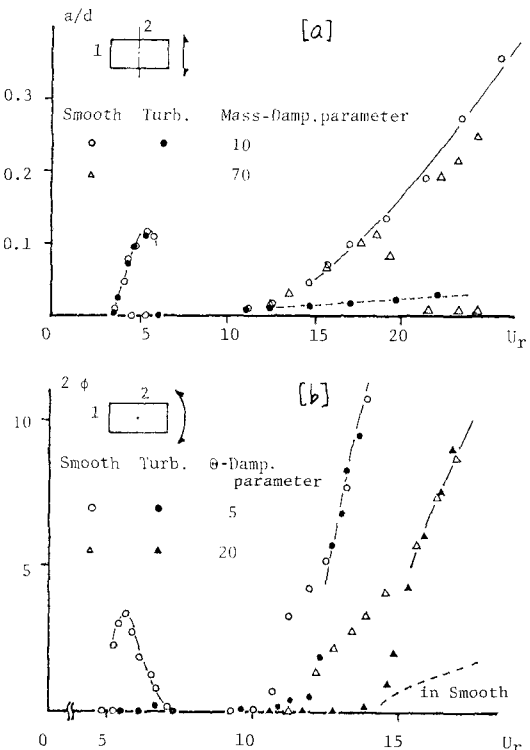


Fig. 14 Vertical and Torsional Responses of 1/2
Rectangular Section Cylinder
($I_u = 11\%$, $L_x/B = 0.5$)

乱流中の船直たわみ振動は、 $1/2 U_{cr}$ 付近のものと U_{cr} 付近のものとは乱れの効果が異なるのか、前者は一様流中で見られた応答とおほに差がないか、ピークを越えた直後で見られた不安定性リミットサイクルは消滅しない。一方、後者の U_{cr} 付近からのものはハフェティング的ではなく規則で、微小な振幅の応答に変化しない。

次に、揺れ振動であるが、一様流中では、ピークをはす前に不安定性リミットサイクルをもつ限界振動が $1/2 U_{cr}$ 付近に現われ、さらに U_{cr} 付近から立ち上る振動が見られる。極慣性モーメント・減衰比 $\frac{2\theta}{g_b d^2}$ が増大するに伴い、 $1/2 U_{cr}$ 付近の振動は振幅を減らされ、 U_{cr} 付近から立ち上る振動は高風速側へ移行し、継続する。後者の性質は船直たわみ振動と異なってい。乱流中に置かれたとき、 $1/2 U_{cr}$ 付近の振動は消滅しない現れらず、 U_{cr} 付近の振動は小振幅領域では不規則であるが、やがて一様流中で見られたものと同じ振幅の大きい振動へと移行する。いずれかの気流の場合も、 U_{cr} 以降の大振幅の振動はフリッタル呼ぶべき特徴を備えている。

4.3 $1/2$ 長方形断面の船直たわみ振動時の圧力分布

船直たわみ振動 $1/2$ 長方形断面について、 $U_r = 5.5$ 、および $U_r = 18$ における平均圧力係数、変動圧力係数、ならびに振動変位に対する位相差を観測したもののが Fig. 15 [a], [b], [c]、Fig. 16 [a], [b], [c]である。

U_{cr} を若干上までは $U_r = 18$ の結果から、質量・減衰比が小さい場合の振動応答曲線が一つの境界線を形成し、これを境にして平均圧力係数、変動圧力係数の振幅依存性が異なっているのか？
小振幅側では振幅依存性が小さくなる。位相差については異なり、境界線より大きい振幅になると作用

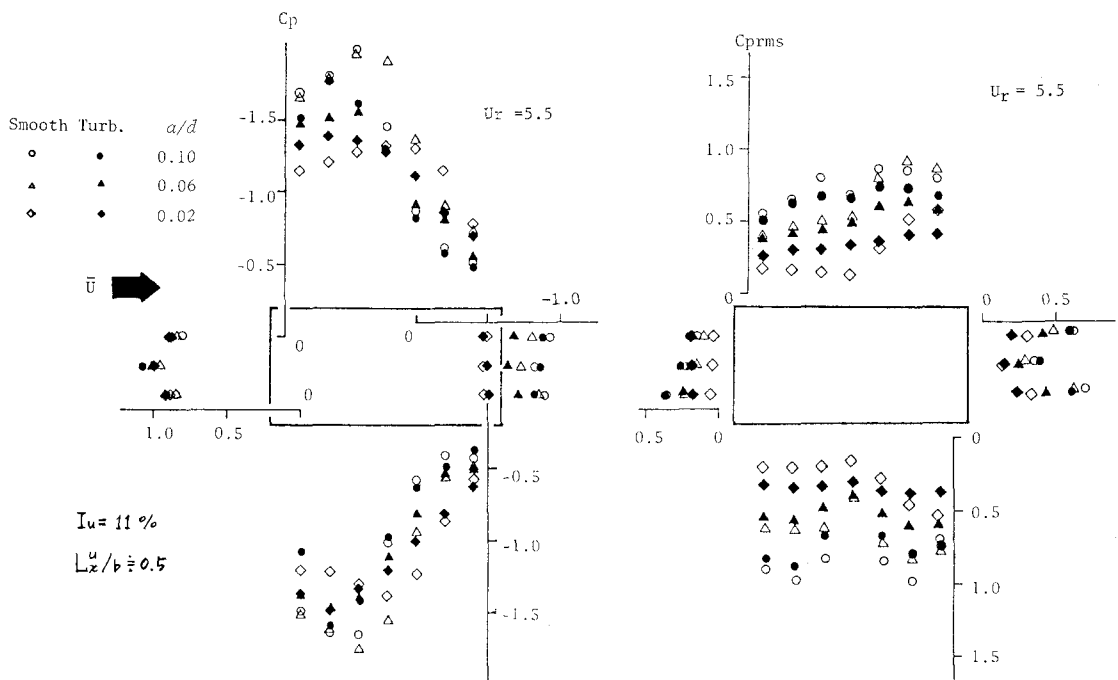


Fig. 15 [a] Mean Pressure Coefficient in Vertical Motion

Fig. 15 [b] R.M.S. Pressure Coefficient in Vertical Motion

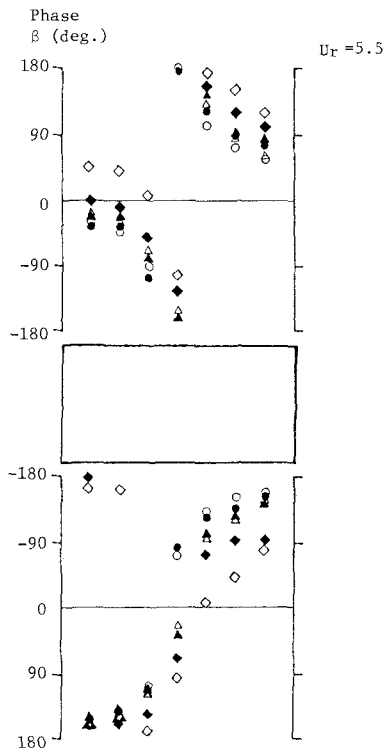


Fig. 15 [c] Phase Difference between Motion and Pressure

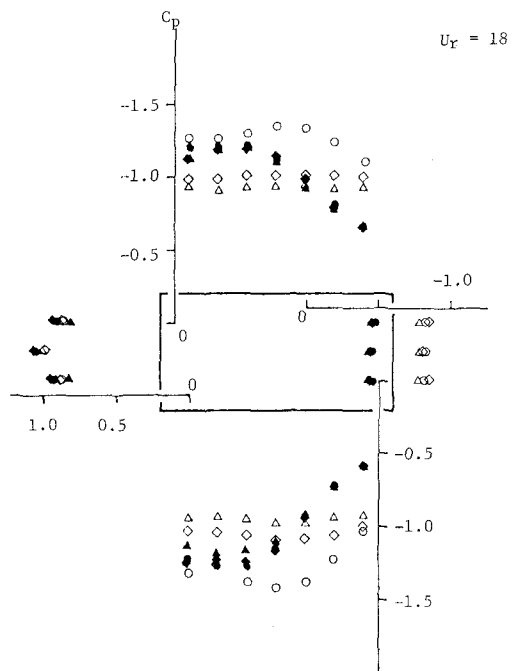


Fig. 16 [a] Mean Pressure Coefficient in Vertical Motion

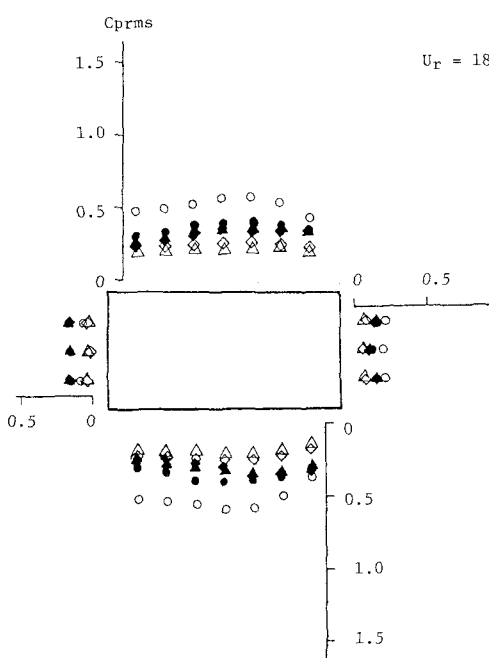


Fig. 16 [b] R.M.S. Pressure Coefficient in Vertical Motion

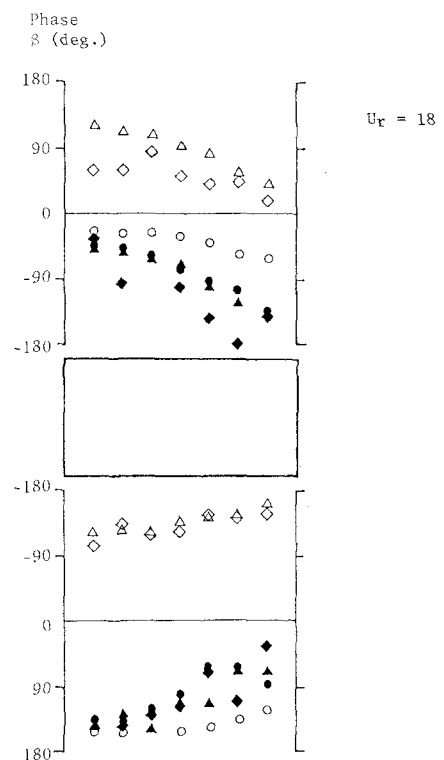


Fig. 16 [c] Phase Difference between Motion and Pressure

力が減衰力として働くようになり、振動が存在し得ないことを示している。逆に、境界線より小さい振幅では振動が存在し得るような力が形成する位相差分布を示している。乱流中の位相差を見ると、以下の振幅では振動が存在し得ないような位相差分布に近づき、振動危答の観測結果と完全に符合している。

$1/2 U_{cr}$ 付近の $U_r = 5.5$ における観測結果は、 U_{cr} 付近のものと異なり、平均圧力係数は前縁側で大きな圧力低下が、後縁側で急激な圧力回復が見られる。変動圧力係数については、一様流中の側面中央付近の再付着による若干のヘリカル特徴がある。位相差分布の変化もさわめて著しい。この領域での圧力分布の特徴は、側面において大きな変化を示していることがある。

一様流、乱流の差については、振動危答に大きな差がないことを裏付けようにも、認めらる。一様流中の平均圧力係数が、後縁側で著しく圧力回復する特性を持つために、乱れが存在する場合には、その特性を大きく変化させようとにはいかず、結局、差が生じなかつたと考えらる。

5. トラス補剛筋断面のフラッタに対する乱れの効果

補剛筋断面幅に比べて乱れのスケールが小さいと流中で観測されたフラッタの応答特性が、一様流中に対する大きく異なる場合から、ほぼ一致する場合に至るまで種々のケースが見らる。Fig. 17 は乱れの強さ $I_u = 11\%$, $L_x/B = 0.24$ のとき、場合によつて乱れの効果が異なる様子を示すものである。概して、一様流中の流れらるる不安定なリミットサイクルが、乱流中では消滅し、風速とともに振幅を増すソフトフラッタに移行していく。しかし、飛振風速が相対的に高く打り、場合によってはフラッタは存在しない判斷すべき例がある。図において、CASE A はグレーティンが有、充実

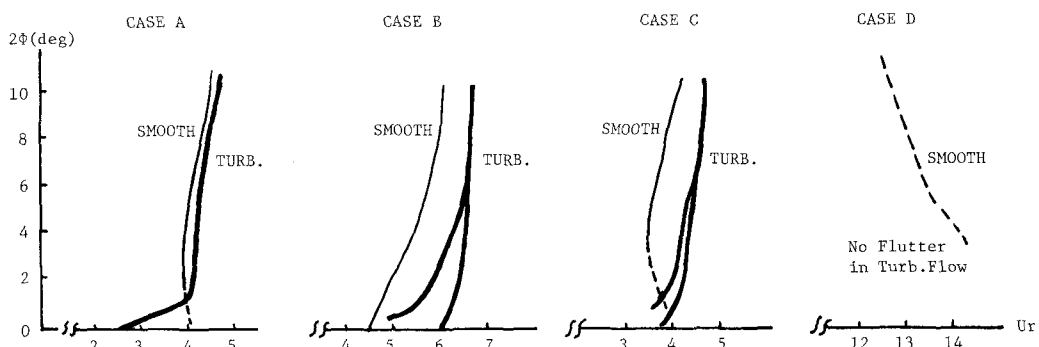


Fig. 17 Various Responses of Flutter in Truss Sections

高橋 ($\alpha=0^\circ$), CASE B はグレーティン有, ふつう高橋 ($\alpha=2^\circ$), CASE C は同じ断面 ($\alpha=6^\circ$), さらに CASE D は床底, 充実高橋 ($\alpha=0^\circ$) の場合である。

6. まとめ

橋梁構造、部材として用いられるいくつかの断面形を対象に行なわれた風洞実験結果を示し、静止時における作用する空気力、ならびに不安定振動である渦励振、ギャロッピング、振れフラッタの各振動応答に対する風の乱れの効果を述べてきた。本論文で示した特性、あるいはまことに述べた既往

の研究において未された特徴をもとに、風の乱れの効果を一言で言えば、対象とする構造断面形状、対象とする現象、すなわちどの空気力、どの運動応答があるかによって、現れ方方が多様であるといふことである。したがつて、具体的な事例について、風の乱れの効果を正しく評価するためには、似たよった例に対する既往の資料を活用することは言うまでもなく、よりよく自然風を相似した気流の中で風洞実験を実施するしか肝要である。しかし、よりよく自然風を相似した乱山の気流を得るには、乱れの効果のメカニズムに関する、より一層の理解を並行して行はなければならぬ、現在そのためには、すなわち、乱れの特性による、乱れの強度、乱山のスケール、パワースペクトル形状、空向相関性によつて、乱れの効果が現れる方角はどのようであるかからである。最近、断面寸法に比べて小さな乱れのスケールの場合、すなわち L_x/b が大きくなる場合には、理論的解析が手がけられてゐる⁸⁾、これらの研究が乱れの効果をより明確に評価する上で有用になると期待される。

7. 参考文献

- 1) Farguharson, F. B., Smith, F. C. and Vincent, G. S., "Aerodynamic Stability of Suspension Bridges with Special Reference to the Tacoma Narrows Bridge", Univ. Washington Engg. Exp. Station Bull. No. 116, Parts I~V, 1950~54.
- 2) Vincent, G. S., "Golden Gate Bridge Vibration Studies", Trans. ASCE, Vol. 127, Part II, 1962.
- 3) Davenport, A. G., Isyumov, N. and Miyata, T., "The Experimental Determination of the Response of Suspension Bridges to Turbulent Wind", Proc. 3rd Int. Conf. Wind Effects (Tokyo), 1971.
- 4) Miyata, T. and Ito, M., "Evaluation of Gusts on Flexible Structures", Proc. 9th Int. Congr. IABSE (Amsterdam), 1972.
- 5) Irwin, H. P. A. H. and Schuyler, G. D., "Experiments on a Full Aeroelastic Model of Lions' Gate Bridge in Smooth and Turbulent Flow", NRC Canada, Nat. Aeronautical Est. Rep., LTR-LA-206, 1977.
- 6) Miyata, T. and Miyazaki, M., "Turbulence Effects on Aerodynamic Response of Rectangular Cylinders", Proc. 5th Int. Conf. Wind Engg. (Colorado), 1979.
- 7) 宮崎正男, 宮田利雄, "静止角柱の場, 抗力に及ぼす乱山のスケール効果", 第6回国土木学会関東支部年次研究発表会概要集, 1979.
- 8) Durbin, P. A. and Hunt, J. C. R., "Fluctuating Surface Pressures on Bluff Structures in Turbulent Winds: Further Theory and Comparison with Experiment", Proc. 5th Int. Conf. Wind Engg. (Colorado), 1979.

Turbulent Wind Effects on Aerodynamic Responses
of Bridge Deck Structures

by Toshio MIYATA*, Masao MIYAZAKI*** and Hitoshi YAMADA***

The effect of wind is an important factor in the design of bridge structures. In order to avoid aerodynamic instabilities on the proposed full scale bridge, it is usual to carry out dynamic tests in a wind tunnel. In the wind tunnel tests, it is an important requirement how to simulate the turbulent flow, and to evaluate the effects of turbulence on various responses. Some wind tunnel results for typical bridge decks are shown and discussed in this paper.

1. Introduction
2. Turbulence Effect on Mean Aerodynamic Forces
 - 2.1 Truss Stiffening Girder Sections (Fig.1, 2)
 - 2.2 Rectangular Sections (Fig.3, 4)
3. Turbulence Effect on Galloping of Rectangular Cylinders
(Fig.5 ~ 12)
4. Turbulence Effect on Vortex Shedding of Box Girder Sections
 - 4.1 Shallow Box Girder Section (Fig.13)
 - 4.2 1/2 Rectangular Section (Fig.14)
 - 4.3 Pressure Distribution of 1/2 Rectangular Section in Vertical Motion
(Fig.15, 16)
5. Turbulence Effect on Torsional Flutter of Truss Stiffening Girder Sections
(Fig.17)
6. Concluding Remarks

* Assoc. Professor, Dept. of Civil Engineering, Univ. of Tokyo
** Research Engineer (Sumitomo Heavy Industries), ditto.
*** Graduate student, ditto.